

тии следует использовать материалы, обладающие эффектом памяти формы. Соответственно, в системах, внешним параметром которых служит объем, необходимы высокие давления в газовых и парожидкостных смесях. Преобразование тепла в работу с помощью подобной системы требует наличия двух термостатов, но свободно от ограничений, накладываемых классической формулой Карно. Соединив ее посредством изотермической перегородки с идеальным газом, получаем двухпараметрическую систему, не имеющую интегрирующего множителя. Преобразование тепла в работу с помощью такой двухпараметрической системы возможно с использованием лишь одного термостата.

Преобразование тепла в работу с помощью потенциальных систем служит наглядным доказательством неуниверсальности второго начала термодинамики.

Список литературы

- [1] Лихачев В. А., Кузьмин С. Л., Каменева З. П. Эффект памяти формы. Л., 1987. 216 с.
- [2] Truesdell C. // The tragicomical history of thermodynamics. 1822—1854. Springer Verlag, 1980. Р. 335.
- [3] Карапеодори К. // Развитие современной физики. М.: Наука, 1964. С. 188—222.
- [4] Борн М. // Там же. С. 223—256.
- [5] Silbergleit A. S., Skornyakov G. V. // Proc. 59th Heraeus Seminar on Balances in Atmosphere and the Energy Problem. Amsterdam: North-Holland, 1991. Р. 159—170.
- [6] Леонтьевич М. А. Введение в термодинамику. Статистическая физика. М.: Наука, 1983. 416 с.

Физико-технический институт
им. А. Ф. Иоффе
С.-Петербург

Поступило в Редакцию
4 июля 1991 г.

04
© 1992 г.

Журнал технической физики, т. 62, в. 2, 1992

ГЕНЕРАЦИЯ ОТРИЦАТЕЛЬНЫХ ИОНОВ ВОДОРОДА И КОЛЕБАТЕЛЬНО ВОЗБУЖДЕННЫХ МОЛЕКУЛ В НИЗКОВОЛЬТНОМ ЦЕЗИЙ-ВОДОРОДНОМ РАЗРЯДЕ

Ф. Г. Бакшт, В. Г. Иванов

1. В [1—3] была теоретически показана возможность получения большой концентрации N_{H^-} отрицательных ионов водорода в низковольтном цезий-водородном разряде. В таком разряде энергия пучка электронов, ускоренных на прикатодном падении напряжения φ_k , расходуется в основном на разогрев тепловых электронов плазмы [4]. Тепловые электроны ионизуют атомы цезия, колебательно возбуждают молекулы водорода и обеспечивают генерацию отрицательных ионов водорода за счет диссоциативного прилипания разогретых ($T_e \geq 1$ эВ) электронов к колебательно-возбужденным молекулам H_2 [5].

Теоретическая модель разряда, развитая в [1, 2], была приближенной и исходила из предположения об однородности плазмы в зазоре. Расчеты, выполненные в [3] путем весьма трудоемкого решения полной системы уравнений, описывающих разряд, показали, что упрощенная однородная модель позволяет практически точно определить средние по зазору значения параметров плазмы. С использованием однородной модели в [6] была проведена оптимизация разряда с целью получения наибольшей концентрации N_{H^-} отрицательных ионов водорода в плазме. Было показано, что оптимальными значениями являются $p_{H_2}L \sim 1$ Тор·см, $N_{Cs}^{(0)} \approx 10^{14}$ см⁻³. Здесь p_{H_2} — давление водорода, L — зазор, $N_{Cs}^{(0)}$ — полная средняя концентрация цезия в зазоре (ионы Cs^+ + атомы Cs).

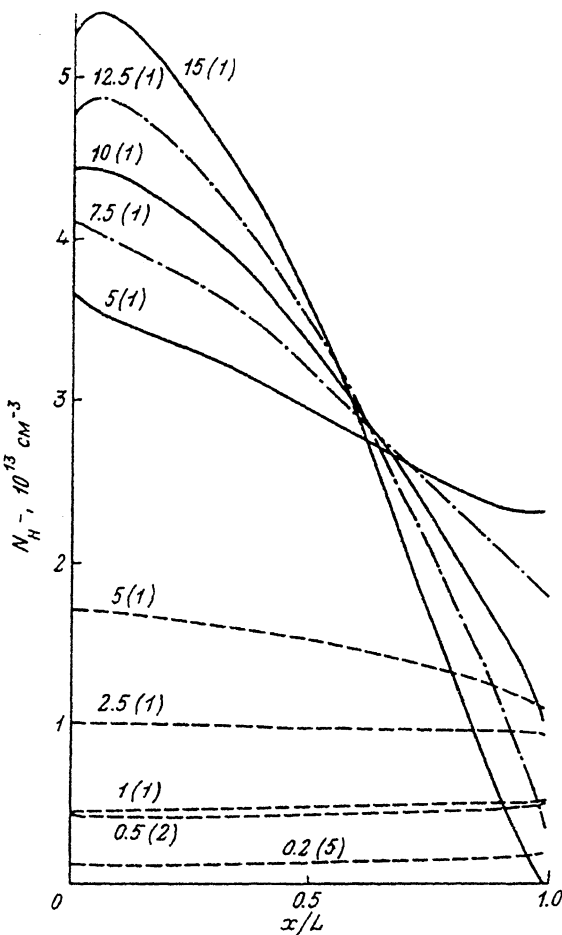


Рис. 1. Распределение по зазору концентрации отрицательных ионов водорода.

$$j_{es} = 30 \text{ A/cm}^2, \varphi_k = 7.5 \text{ В.}$$

Отметим, что выбор оптимального значения $N_{Cs}^{(0)}$ определяется из условия сильной ионизации цезия в зазоре при достаточно большой концентрации плазмы, обеспечивающей наряду с оптимальным значением T_e высокую заселенность колебательных уровней H_2 , существенных для диссоциативного прилипания. Однако для ряда практических применений оптимизация разряда, выполненная в [6] в рамках однородной модели, оказывается недостаточной. В частности, в ряде случаев такие расчеты не дают достаточно полного представления о распределении N_{H^-} по зазору. Это обстоятельство может оказаться весьма существенным при оценке величины извлекаемого из приэлектродной области разряда потока отрицательных ионов водорода.

В настоящей работе приводятся результаты теоретического исследования распределения по зазору концентрации N_{H^-} . Исследуется зависимость распределения $N_{H^-}(x)$ от давления p_{H_2} молекулярного водорода. Определяются оптимальные значения p_{H_2} с целью получения наибольшей концентрации N_{H^-} в прианодной области. Оценивается роль процессов колебательного девозбуждения молекул H_2 на стенах. Исследуется распределение по зазору средней колебательной энергии $\langle \epsilon_v \rangle$ молекул H_2 . Расчеты выполнены при оптимизированном значении

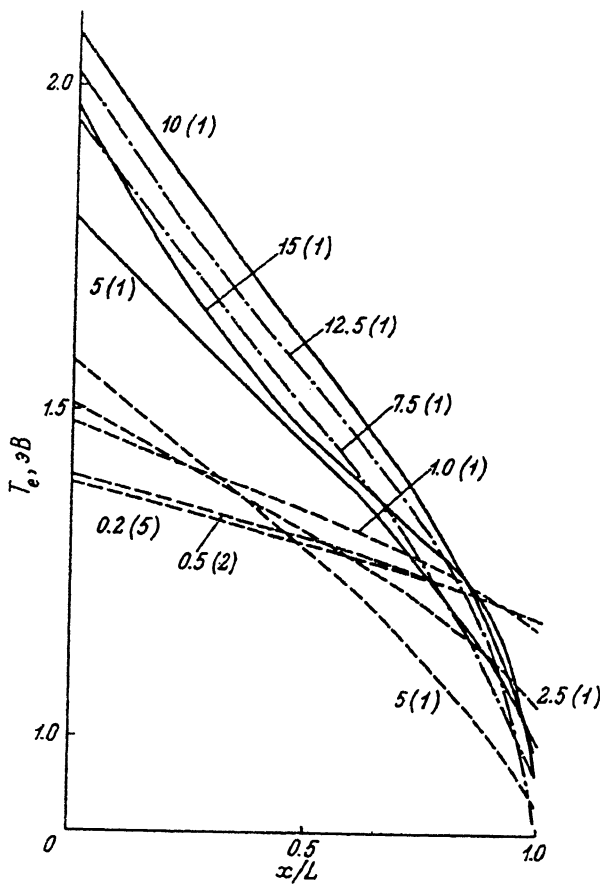


Рис. 2. Распределение по зазору температуры электронов.

$$N_{Cs}^{(0)} = 1.5 \cdot 10^{14} \text{ см}^{-3}.$$

2. В расчетах состояние плазмы низковольтного разряда описывалось системой уравнений [3]. При сравнительно низких давлениях p_{H_2} в левую часть уравнения (14) из [3], определяющего заселенности N_k колебательно-возбужденных молекул, добавлялся член

$$\frac{1}{\tau} \left[\sum_{k' (k' \geq k)} N_{k'} w_{k'k} - N_k \sum_{k' (k' \leq k)} w_{kk'} \right],$$

учитывающий изменение концентрации N_k вследствие колебательного девозбуждения молекул на электродах ($\sum_k w_{kk'} = 1$). Здесь τ — среднее время пробега молекул между электродами. При определении вероятностей $w_{kk'}$ использовались расчетные данные [7]. Вероятность w_{10} определялась в соответствии с экспериментальными данными [8]. В остальном константы реакций и сечения элементарных процессов определялись так же, как в [3]. Расчеты выполнены при токе эмиссии катода 30 А/см². Результаты расчетов иллюстрируются рис. 1—4. На рис. 1 приведены распределения по зазору концентрации $N_{H^-}(x)$ отрицательных ионов водорода. Цифры на кривых указывают давление p_{H_2} в Тор, в скобках —

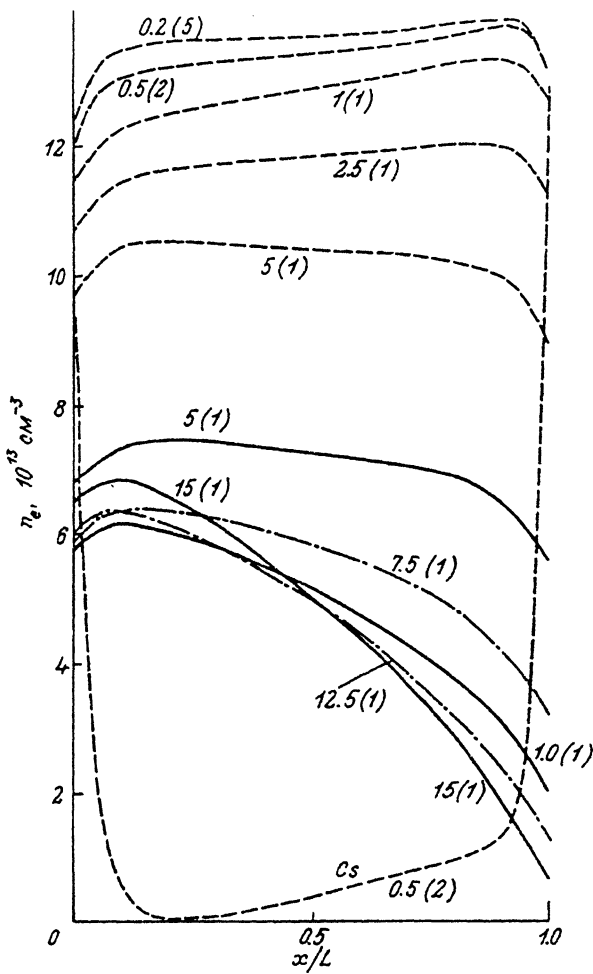


Рис. 3. Распределение по зазору концентрации электронов.

Параметры расчета и обозначения те же, что на рис. 1.

межэлектродное расстояние L в мм. Сплошные и штрихпунктирные кривые соответствуют результатам, полученным без учета девоизбуждения молекул на стенах; штриховые кривые — с учетом этого. Обращает внимание заметный перепад концентрации N_{H_2} при $p_{H_2} \geq 7$ Тор, что связано в основном с перепадом электронной температуры T_e . Соответствующие распределения $T_e(x)$ приведены на рис. 2. Значительный перепад $T_e(x)$ в столкновительных режимах связан в основном с разогревом электронов на прикатодном падении потенциала φ_k и их остыанием на тормозящем прианодном потенциальном барьере φ_a . Это приводит также к тому, что в зазоре основную роль играет перенос тока от катода к аноду под действием градиента электронной температуры $T_e(x)$. Видно, что уменьшение p_{H_2} в определенных пределах приводит лишь к выравниванию концентрации N_{H_2} в зазоре в основном при неизменном значении их средней концентрации в зазоре. При этом, существенно увеличивается концентрация $N_{H_2}(L)$ у анода. Результаты расчета позволяют определить оптимальное значение $N_{H_2}(L)$, существенное в случае извлечения отрицательных ионов водорода из

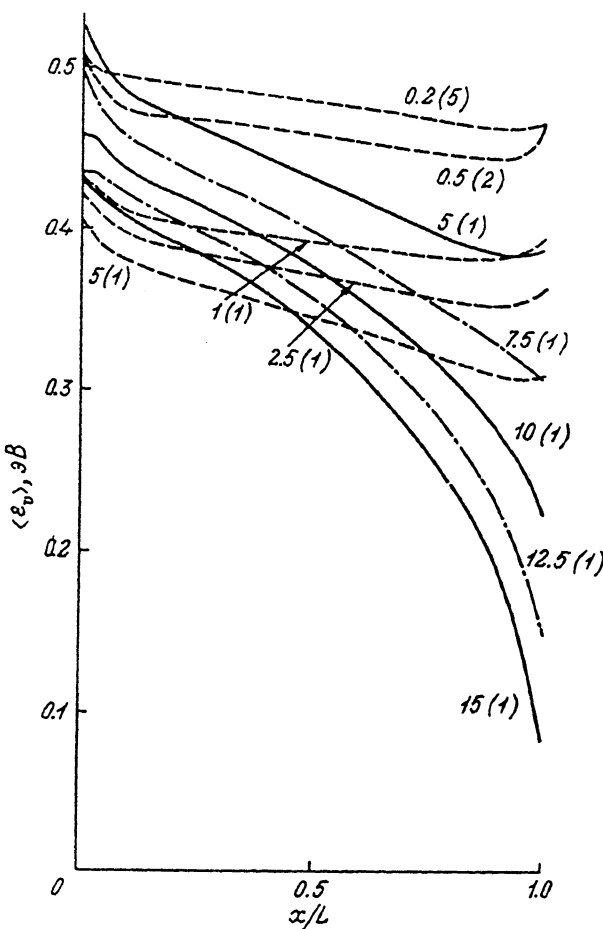


Рис. 4. Распределение по зазору средней колебательной энергии молекул H_2 .

Параметры расчета и обозначения те же, что на рис. 1.

при анодной области разряда. Учет колебательного девоизбуждения молекул H_2 на электродах, как и должно быть, приводит к уменьшению концентрации колебательно-возбужденных молекул H_2 и к понижению электронной температуры $T_e(x)$. Это уменьшает скорость генерации отрицательных ионов H^- в разряде за счет диссоциативного прилипания. Оптимальное значение параметров разряда реализуется при $p_{\text{H}_2} L \approx 1$ Тор·см. При дальнейшем уменьшении p_{H_2} плазма в зазоре становится примерно однородной практически по всем параметрам кроме, естественно, распределения нейтральных атомов цезия $N_{\text{Cs}}(x)$. Как и должно быть, в рассматриваемых условиях, характеризующихся достаточно высокими значениями электронной температуры T_e и концентрации n_e , атомы цезия вытесняются в узкие приэлектродные слои протяженностью порядка длины ионизации десорбирующихся с электродов цезиевых нейтралов.

Распределение концентрации электронов $n_e(x)$ иллюстрируется рис. 3. Для одного расчетного набора параметров $p_{\text{H}_2} = 0.5$ Тор, $L = 0.2$ см приведено соответствующее распределение по зазору нейтральных атомов цезия $N_{\text{Cs}}(x)$. Отметим, что в области малых давлений ($p_{\text{H}_2} L \sim 0.1$ Тор·см) используемая система гидро-

динамических уравнений переноса [3] для компонент плазмы уже перестает быть применимой. Тем не менее решения этих уравнений дают в основном правильный предельный переход к однородной модели, описывающей разряд в области малых чисел Кнудсена $K_n \sim 1$. Дальнейшее уменьшение давления p_{H_2} переводит разряд в кнудсеновскую или плазменно-пучковую модификацию. Методика расчета таких разрядов изложена в [9].

3. Низковольтный цезий-водородный разряд характеризуется высокой средней колебательной энергией $\langle \epsilon_v \rangle$ молекул водорода. На рис. 4 в качестве примера приводятся распределения по зазору средней колебательной энергии $\langle \epsilon_v \rangle$ в расчете на одну молекулу водорода. Видно, что в области сравнительно малых $p_{H_2} L$ колебательная накачка молекул водорода весьма велика $\langle \epsilon_v \rangle \approx 0.5$ эВ при достаточно однородном распределении колебательно-возбужденных молекул по зазору. Прокачка молекулярного водорода сквозь такой разряд может оказаться весьма перспективной для различных плазмо-химических, лазерных и других приложений.

Авторы благодарят Г. А. Дюжева, Л. И. Елизарова, А. А. Костина, А. Г. Филатова, С. М. Школьника за полезное обсуждение.

Список литературы

- [1] Бакшт Ф. Г., Иванов В. Г. // Письма в ЖТФ. 1986. Т. 12. Вып. 11. С. 672—675.
- [2] Бакшт Ф. Г., Елизаров Л. И., Иванов В. Г., Юрьев В. Г. // Физика плазмы. 1988. Т. 14. № 1. С. 91—97.
- [3] Бакшт Ф. Г., Елизаров Л. И., Иванов В. Г. // Физика плазмы. 1990. Т. 16. № 7. С. 854—861.
- [4] Бакшт Ф. Г., Иванов В. Г. // Физика плазмы. 1986. Т. 12. С. 286—293.
- [5] Wadehra J. M. // Phys. Rev. A. 1984. Vol. 29. N 1. P. 106—110.
- [6] Бакшт Ф. Г., Иванов В. Г. // ЖТФ. 1988. Т. 58. Вып. 2. С. 969—971.
- [7] Hiskes J. R., Kato A. M. // J. Appl. Phys. 1984. Vol. 56. N 7. P. 1927—1938.
- [8] Долгин А. И. // Химическая физика. 1984. Т. 3. № 11. С. 1624—1625.
- [9] Бакшт Ф. Г., Колесов Б. И., Костин А. А. и др. Математическое моделирование процессов в низковольтном плазменно-пучковом разряде. М.: Энергоатомиздат, 1990. 136 с.

Физико-технический институт им. А. Ф. Иоффе
С.-Петербург

Поступило в Редакцию
20 мая 1991 г.

12

© 1992 г.

Журнал технической физики, т. 62, в. 2, 1992

ОСОБЕННОСТИ РАБОТЫ ГАЗОВЫХ ДАТЧИКОВ НА ПОВЕРХНОСТНЫХ АКУСТИЧЕСКИХ ВОЛНАХ

В. И. Анисимкин, И. М. Котелянский

Датчики газов на поверхностных акустических волнах (ПАВ) относятся к одним из перспективных типов химических датчиков, который в настоящее время интенсивно исследуется [1, 2]. Цель данной работы — показать, что “отклики” таких датчиков определяются а) долей акустической энергии волны r , которая сконцентрирована в пределах пленочного покрытия, изменяющего свои физические свойства при адсорбции газа, и б) величиной относительного изменения скорости распространения волны $V_{\text{ПАВ}}$, вызванного возникающими при адсорбции одновременными изменениями плотности ρ и упругих модулей C_{11}, C_{44} пленки.

Газовые датчики на ПАВ представляют собой, как известно [1], слоистые структуры (рис. 1), в которых чувствительная к газу пленка имеет толщину h , намного меньшую длины волны ПАВ λ ($h/\lambda \sim 0.01$). Поэтому при анализе таких структур можно ограничиться рассмотрением одной акустической моды (ПАВ